

بررسی اثر آالایش نتودیمیم بر ویژگی‌های ساختاری و خواص مغناطیسی نانوذرات فریتی $Ni_{0.7}Zn_{0.3}Nd_xFe_{2-x}O_4$ سنتز شده به روش سل-ژل کمپلکس شونده

علی قاسمی، محمدرضا لقمان استرکی، شهاب ترکیان* و غلامرضا گردانی

دانشگاه صنعتی مالک‌اشتر، دانشکده مهندسی مواد، اصفهان، شاهین شهر، ایران، صندوق پستی ۸۳۱۴۵-۱۱۵

(دربافت مقاله: ۱۳۹۹/۴/۲ - دریافت نسخه نهایی: ۱۳۹۹/۷/۸)

چکیده- هدف این پژوهش، بررسی اثر آالایش مقادیر مختلف نتودیمیم بر ریخت، تغییرات فازی و خواص مغناطیسی نانوذرات فریتی $Ni_{0.7}Zn_{0.3}Nd_xFe_{2-x}O_4$ (x= 0, 0.01, 0.03, 0.05, 0.07, 0.10) سنتز شده به روش سل-ژل کمپلکس شونده است. در این روش، از تریاتنول آمین (TEA) به عنوان عامل ژل‌شونده و عامل کی‌لیت کننده استفاده شد. مشخصه یابی نمونه‌ها با آنالیزهای پراش پرتو ایکس (XRD)، میکروسکوپ الکترونی روبشی گسیل میدانی (FESEM) و تفکیک انرژی پرتو ایکس (EDX) انجام شد. نتایج فازی‌یابی نمونه‌ها نشان داد همه نمونه‌های سنتز شده دارای فاز فریت اسپینلی بودند. ارزیابی مغناطیسی نمونه‌ها نشان داد که نمونه آالایش شده با $Nd_{0.01}$ ریخت شبیه-کروی و اندازه ذرات در محدوده ۶۰ نانومتر با بیشترین مغناطش اشباع ۵۰ emu/g و نیروی واکنشی ۱۰۳ Oe دارد.

واژه‌های کلیدی: فریت، نتودیمیم، تریاتنول آمین، عوامل کی‌لیت کننده، فریت نیکل-روی.

Effect of Neodymium Doping on Morphology, Phase and Magnetic Properties of $Ni_{0.7}Zn_{0.3}Nd_xFe_{2-x}O_4$ Ferrite Nanoparticles Synthesized by Complexing Sol-Gel Method

A. Ghasemi, M. R. Loghman Estarki, S. Torkian* and G. R. Gordani

Department of Materials Engineering, Malek Ashtar University of Technology, P.O. Box 83145/115, Shahin Shahr, Isfahan, Iran.

Abstract: The purpose of this study was to evaluate phase changes and magnetic properties of neodymium doped $Ni_{0.7}Zn_{0.3}Nd_xFe_{2-x}O_4$ (x = 0, 0.01, 0.03, 0.05, 0.07, 0.10) nanoparticles synthesized by complexing sol-gel method. In this method, triethanolamine (TEA) acted as both a gelling agent and a chelating agent. Samples were characterized by X-ray diffraction (XRD) analysis, field emission scanning electron microscopy (FESEM), and energy dispersive X-ray spectroscopy (EDX). XRD patterns of all synthesized samples revealed the formation of a spinel ferrite phase. Magnetic evaluation of the specimens showed that the $Nd_{0.01}$ doped sample with a quasi-spherical morphology and particle size of about 60 nm has the highest saturation magnetization of 50 emu/g and coercive force of 103 Oe.

Keywords: Ferrite, Neodymium, Triethanolamine, Chelating agents, Ni-Zn ferrite.

*: مسئول مکاتبات، پست الکترونیکی: shahab.torkian@gmail.com

۱- مقدمه

چهاروجهی و ۳۲ مکان هشت وجهی در هر سلول واحد وجود دارد. فریت نیکل- روی دارای شبکه اسپینل معکوس است که در آن یون های نیکل در مکان های اکتاھدرال (O) و یون های روی (II) در مکان تترادھدرال (T) و نیمی از یون های آهن (III) در مکان های O و نیم دیگر آن در مکان های T قرار دارند [۱۵].

به منظور کاربرد فریت نیکل- روی در زمینه های گوناگون، اثر جانشینی کاتیون های مختلفی در ساختار آنها بررسی شده است. به عنوان مثال مشاهده شده است که با افزودن کاتیون $\text{Ni}_{0.5-x}\text{Zn}_{0.5}\text{Mg}_x\text{Fe}_2\text{O}_4$ ، میزان نیروی پسماند زدا کاهش می یابد [۱۶]. در این فریت، کاهش نیروی پسماند زدا به افزایش اندازه دانه نسبت داده شد. همچنین مغناطیش اشباع با افزایش مقدار کاتیون های منیزیم $x=0.3$ افزایش و سپس کاهش یافت که دلیل اصلی آن توزیع مجدد کاتیون ها در مکان های A و B است. پس از جانشینی یون های نیکل با منیزیم، مقداری از یون های منیزیم مکان های A را اشغال کرده و موجب مهاجرت یون های Fe^{+3} به مکان های B می شود. به دلیل افزایش یون های Fe^{+3} در مکان های B و نظر به اینکه گشتاور مغناطیسی یون های Fe^{+3} بیشتر از یون های Mg^{+2} است، مغناطیش اشباع مکان B بالاتر از مکان A می شود. در نتیجه مغناطیش اشباع افزایش می یابد. با افزایش بیشتر غلظت یون های منیزیم، گشتاور مغناطیسی مکان B بیشتر شده و این افزایش برهم کنش B-B را نتیجه می دهد که موجب جفت شدن اسپین های غیر همسو شده و کاهش مغناطیش اشباع را به دنبال دارد. فو و همکاران تأثیر مس بر خواص مغناطیسی فریت نیکل- روی را بررسی کردند [۱۷]. آنها گزارش کردند که مغناطیش اشباع و دمای کوری با افزاش مس کاهش می یابد. کاهش در مغناطیش اشباع به جانشینی نیکل توسط مس که گشتاور مغناطیسی پایینی دارد، نسبت داده شد. این جانشینی، روی برهم کنش A-B و B-B تأثیر گذاشته و موجب کاهش مغناطیش و دمای کوری می شود [۱۷]. در تحقیق دیگری برھان و همکاران اثر جانشینی آلومینیوم را بر خواص ساختاری و مغناطیسی فریت نیکل- روی گزارش کردند [۱۸]. مطابق با

از جمله مهم ترین مواد نرم مغناطیسی می توان به فریت های نیکل- روی اشاره کرد که توانایی کاربرد در فرکانس های بالاتر از یک مگاھertz به دلیل مقاومت ویژه الکتریکی بالا، فرکانس قطع بالا و پایداری شیمیایی را دارد. مهم ترین مشخصات فریت های نیکل- روی نفوذ پذیری مغناطیسی بالا، ثابت دی الکتریک بالا، اتلاف دی الکتریک پایین، مقاومت ویژه بالا، دمای کوری بالا، استحکام مکانیکی و پایداری شیمیایی در فرکانس های به نسبت پایین است. این گروه کاربردهای گسترش ده ای در حوزه الکترونیک همچون تراشه های حافظه کامپیوتر، هدهای ضبط مغناطیسی، دستگاه های مایکروویو، مبدل ها و ترانسفورماتورها دارند. علاوه بر این کاربردها، نانوفریت های نیکل- روی، همچنین، در فناوری سیال مغناطیسی، دارورسانی با هدایت مغناطیسی و تصویربرداری تشدید مغناطیسی بسیار مفید هستند [۱-۴].

فریت ها معمولاً توسط فرایند سرامیک و واکنش های حالت جامد با درجه حرارت بالا از واکنش بین اکسیدها و کربنات های سازنده تولید می شوند. عیوب این روش مرسوم شامل اندازه ذرات به نسبت بزرگ و غیر یکنواخت و ایجاد ناخالصی ها است که باعث افت بیشتر عملکرد محصولات می شود [۵-۷]. به منظور غلبه بر این مشکلات و برآورده کردن الزامات کاربردهای جدید، برخی از فرایندهای شیمیایی مرتبط مانند سل - ژل سیترات [۸]، روش هیدروترمال و سولووترمال [۹] و [۱۰]، فرایند میکرومولسیون معکوس [۱۱] و هم رسوی [۱۲] برای تولید فریت های نانو با خواص مغناطیسی مناسب به کار برده شده است. از بین این روش ها، روش سل - ژل با استفاده از عوامل کمپلکس شونده مانند سیتریک اسید، تری اتانول آمین^۱ و غیره به دلیل در دسترس بودن، قیمت کم و کنترل استوکیومتری محصول نهایی و خلوص بالا مورد توجه پژوهشگران بوده است [۱۳ و ۱۴].

سلول اصلی شبکه اسپینل از هشت زیر شبکه با ساختار مکعبی وجوده مرکز پر^۲ (FCC) تشکیل شده است. تعداد ۶۴ مکان

طرفی مقدار یون‌های نیکل با افزایش مقدار منگنز کاهش می‌یابد. بدین معنا که ثابت ناهمسانگردی با افزایش مقدار منگنز تا $x=0.3$ کاسته می‌شود. نیروی پسماندزدا با افزایش مقدار منگنز بیش از ۰.۳ زیاد می‌شود. این افزایش به اندازه حرکت زاویه‌ای اوربیتالی منگنز و مقدار ناهمسانگردی نسبت داده شد [۱۹].

تأثیر جایگزینی آهن توسط یون‌های نادر خاکی^۳ (RE) بر خصوصیات ساختاری، مغناطیسی و الکتریکی فریت‌های نیکل-روی موردن توجه پژوهشگران بوده است. وجود خواص غیرمعمول فریت نیکل - روی آلاییده شده در نتیجه ورود اتم‌های نادر خاکی به ساختار اسپینل است، که منجر به تغییر در جفت شدگی اسپین می‌شود. رفتار مغناطیسی چنین ترکیباتی تنها با برهم‌کنش یون‌های آهن- آهن (الکترون‌های $3d$) کنترل نمی‌شود، بلکه به شدت تحت تأثیر برهم‌کنش RE-Fe- $3d$ است. این برهم‌کنش، جفت شدگی اسپینی اوربیتال‌های $4f$ - $3d$ است. در این پژوهش، تغییر در خواص مغناطیسی را به دنبال دارد [۴]. در این پژوهش، برای اولین بار، اثر جایگزینی یون نئودیمیم بر ریخت، تغییرات فازی و ویژگی‌های مغناطیسی نانوذرات فریتی $Ni_{0.7}Zn_{0.3}Nd_xFe_{2-x}O_4$ سنتز شده به روش سل- ژل کمپلکس شونده بررسی شده است. مطابق جستجوهای انجام یافته، تاکنون گزارشی مبنی بر استفاده از عامل کمپلکس شونده^۴ تریاتانول آمین برای سنتز نانوذرات فریت نیکل - روی آلاییده شده با نئودیمیم گزارش نشده است.

۲- مواد و روش تحقیق

۲-۱- مواد شیمیایی

نیترات آهن نه آبه ($Fe(NO_3)_3 \cdot 9H_2O$), نیترات روی شش آبه ($Ni(NO_3)_2 \cdot 6H_2O$), نیترات نیکل شش آبه ($Zn(NO_3)_2 \cdot 6H_2O$), نیترات نئودیمیم شش آبه ($Nd(NO_3)_3 \cdot 6H_2O$) و تریاتانول آمین ($C_6H_{15}NO_3$) به عنوان مواد اولیه در این تحقیق استفاده شدند. تمامی این مواد از شرکت مرک آلمان تهیه شد که با توجه به خلوص بالای آنها (۹۹/۹۹ درصد) هیچ خالص‌سازی مجددی بر مواد اولیه مورد استفاده انجام نگرفت.

نتایج به دست آمده مشاهده شد که مقادیر مغناطیش پسماند، میدان پسماندزدا و مغناطیش اشباع با افزایش مقدار کاتیون Al^{+3} کاهش می‌یابد. کاهش مغناطیش اشباع با جانشینی یون‌های غیرمغناطیسی توضیح داده شد. گشتاور مغناطیسی سیستم، تفاوت گشتاور مغناطیسی دو زیرشبکه A و B است. بنابراین Al^{+3} پس از اشغال مکان‌های B توسط یون‌های غیرمغناطیسی Al^{+3} گشتاور مغناطیسی زیرشبکه B کاهش می‌یابد که کاهش گشتاور مغناطیسی سیستم را نتیجه می‌دهد [۱۸]. گزارش شده که با افزودن افزومنگنر منگنر به فریت نیکل - روی می‌توان نفوذپذیری مغناطیسی اولیه و مغناطیش اشباع را کنترل کرد [۱۹]. ژیانو و همکاران اذعان داشتند که در سیستم $Ni_{0.5-x}Mn_{0.5}Fe_2O_4$ ($x = 0/5, 0/1, 0/2, 0/3$) هنگام ورود یون منگنر به فریت نیکل- روی و جانشین شدن آن به جای یون نیکل، تعدادی از یون‌های Fe^{3+} از مکان چهاروجهی به مکان هشت‌وجهی مهاجرت کرده و سبب افزایش گشتاور مغناطیسی می‌شود. با این حال در $x > 0.3$ مغناطیش اشباع کاهش می‌یابد. زیرا تعداد یون‌های آهن در مکان چهاروجهی بسیار کاهش یافته و سبب گاهش برهم‌کنش A-B توسط یون‌های آهن موجود در مکان‌های هشت‌وجهی می‌شود. همچنین افزایش تعداد یون‌های آهن در مکان هشت‌وجهی باعث افزایش برهم‌کنش B-B شده و باعث انحراف اسپین‌ها می‌شود. بنابراین مغناطیش مکان هشت‌وجهی کاهش می‌یابد. اگرچه گشتاور مغناطیسی Mn^{2+} و Fe^{3+} برابر μB^5 است اما برهم‌کنش بین یون‌های آهن و منگنر کم بوده و موجب انحراف اسپین در مکان چهاروجهی می‌شود. در نتیجه با افزایش غلظت یون‌های منگنر گشتاور مغناطیسی مکان چهاروجهی کاهش می‌یابد. مشاهده شد که نیروی پسماندزدا با افزایش مقدار منگنر کاهش می‌یابد. نیروی پسماندزدا از فاکتورهایی از جمله ناهمسانگردی مغناطیکریستالی، میکروکرنش، مورفولوژی ذرات مغناطیسی، توزیع اندازه، ناهمسانگردی شکل و اندازه حوزه‌های مغناطیسی تأثیر می‌پذیرد. کاهش در نیروی پسماندزدای فریت نیکل- روی در اثر افزودن منگنر به میزان تخلخل‌ها نسبت داده شد. از

جدول ۱- نامگذاری فریت‌های $\text{Ni}_{0.7}\text{Zn}_{0.3}\text{RE}_x\text{Fe}_{2-x}\text{O}_4$ تولید شده

X	۰	۰/۰۱	۰/۰۲	۰/۰۵	۰/۰۷	۰/۱۰
$\text{Ni}_{0.7}\text{Zn}_{0.3}\text{Nd}_x\text{Fe}_{2-x}\text{O}_4$	Nd0	Nd.01	Nd.02	Nd.05	Nd.07	Nd.10

مطابق جدول (۱) نامگذاری شد.

۳-۲- روش مشخصه‌یابی

به منظور شناسایی فازهای ایجاد شده در نانوذرات از دستگاه پراش سنج پرتو ایکس^۵ (XRD)، مدل ۳۰۰ AW/XDM ساخت شرکت Asenware کشور چین و دارای آند مسی با طول موج ۴۰ کیلوولت، جریان ۳۰ میلی آمپر، اندازه گام ۰/۰۵ درجه و زمان ۱/۵۴ دقیقه آنگستروم استفاده شد. آزمون با ولتاژ ۲۰۱۱ کیلوولت، در محدوده ۲۰ از ۸۰ درجه انجام شد. تعیین فازهای الگوی پراش پرتو ایکس، توسط نرم‌افزار XpertHighscore version 2.2 با دیتابیس PDF2 سال ۲۰۱۱ انجام شد.

برای بررسی ریخت نانوذرات فرآوری شده از میکروسکوپ الکترونی روبشی گسیل میدانی^۶ مدل ESEM Quanta 200 FEI ساخت شرکت ترموفیشر سایتیفیک کشور آمریکا (واقع در شرکت پرتو رایان رستاک تهران) با قدرت تفکیک سه نانومتر در ولتاژ ۳۰ کیلوولت، بزرگنمایی ۱۰۰۰۰۰-۲۰ برابر و تفنگ الکترونی از جنس تنگستان استفاده شد. قبل از تصویرگیری نمونه‌ها به کمک دستگاه فرآصوت ساخت شرکت توسعه فناوری مافوق صوت مدل Ultrasonic Homogenizer- UP400A در اتانول پخش شد. برای گرفتن تصاویر از الکترون‌های ثانویه در شرایط خلاً با حداکثر ولتاژ ۳۰ کیلوولت استفاده شد. همچنین میانگین اندازه ذرات در تصاویر میکروسکوپی الکترونی روبشی با استفاده از نرم‌افزار دیجیتال مایزر محاسبه شد.

برای مشخص کردن ترکیب عنصری نانوذرات فرآوری شده از آزمون طیفسنج تفکیک انرژی^۷ (EDS) استفاده شد. آزمون طیفسنج تفکیک انرژی نانوذرات در آزمایشگاه شرکت پرتو

۲-۲- روش تهیه نانوذرات فریتی $\text{Ni}_{0.7}\text{Zn}_{0.3}\text{Nd}_x\text{Fe}_{2-x}\text{O}_4$

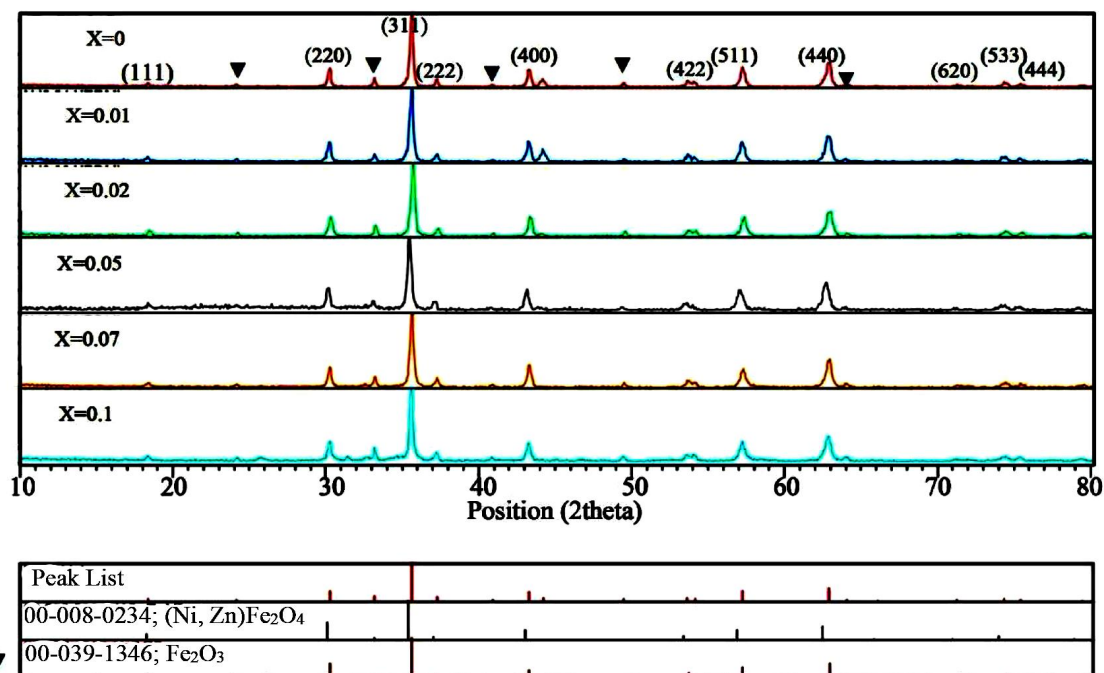
تهیه نانوذرات $\text{Ni}_{0.7}\text{Zn}_{0.3}\text{Nd}_x\text{Fe}_{2-x}\text{O}_4$ شامل سه مرحله تشکیل سل، تشکیل ژل و کلسینه شدن بود.

- **تشکیل سل:** در اولین مرحله، برای تهیه $(\text{Ni}_{0.7}\text{Zn}_{0.3}\text{Nd}_x\text{Fe}_{2-x}\text{O}_4)$ ($x=0/01, 0/02, 0/05, 0/07, 0/10$) مقادیر استوکیومتری از نمک‌های نیترات آهن، روی، نیکل، نشودیمیم، و تریاتانول آمین به ترتیب به عنوان منابع $\text{Ni}^{3+}, \text{Zn}^{2+}, \text{Fe}^{3+}$ و Nd^{3+} و عامل کیلیت‌کننده در آب حل شد. pH محلول در حدود بین ۷-۸ تنظیم شد. در این پژوهش تریاتانول آمین، به میزان چهار برابر مولی یون‌های موجود در محلول اضافه شد. در حالی که محلول توسط همزن مغناطیسی به هم می‌خورد، به مدت یک ساعت در دمای ۸۰ درجه سانتی‌گراد حرارت داده شد، تا محلول به طور کامل همگن شود. پس از آن محلول قهوه‌ای رنگ به دست می‌آید که نشان‌دهنده تشکیل کمپلکس TEA-فلز است.

- **تشکیل ژل در محلول:** در این مرحله، محلول به مدت یک ساعت در دمای ۱۵۰-۱۲۰ درجه سانتی‌گراد حرارت داده می‌شود تا آب محلول به آرامی تبخیر شود. با ادامه حرارت دهی محلول، با قیمانده حلال تبخیر شده، محلول گرانرو می‌شود (به دلیل انجام متوالی واکنش‌های هیدرولیز و تراکم و تشکیل ژل تشکیل می‌شود). در انتها، ژل تبدیل به زیروژل می‌شود. برای تکمیل خشک شدن، زیروژل در درجه حرارت ۲۵۰-۳۰۰ درجه سانتی‌گراد به مدت یک ساعت حرارت داده شد که در این حالت پودری قهوه‌ای رنگ مایل به سیاه به عنوان پیش‌ماده (ژل سوخته شده) به دست می‌آید.

- **کلسینه کردن:** پیش‌ماده به دست آمده از قسمت قبل، به مدت سه ساعت در کوره و در درجه حرارت ۹۰۰-۷۵۰ درجه سانتی‌گراد حرارت داده شد. پودر سیاه رنگ به دست آمده توسط آب و اتانول شستشو شد. با توجه به مقدار ایکس، نمونه‌های

Counts (a.u)



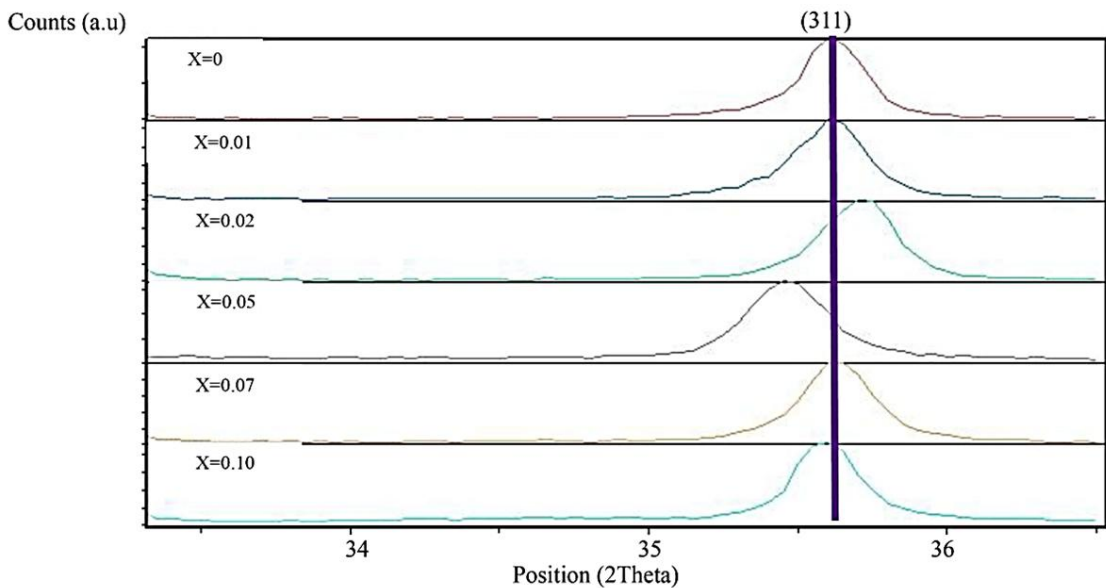
شکل ۱- الگوی پراش پرتو ایکس نمونه‌های $\text{Ni}_{0.7}\text{Zn}_{0.3}\text{Nd}_x\text{Fe}_{2-x}\text{O}_4$ به ازای $x=0/1$ تهیه شده با چهار برابر مولی TEA و کلسینه شده در دمای 75° درجه سانتی‌گراد

۳- نتایج و بحث

۱-۳- بررسی فاز نانوذرات فریتی $\text{Ni}_{0.7}\text{Zn}_{0.3}\text{Nd}_x\text{Fe}_{2-x}\text{O}_4$
 شکل (۱) نتایج الگوهای پراش پرتو ایکس نمونه‌های $\text{Ni}_{0.7}\text{Zn}_{0.3}\text{Nd}_x\text{Fe}_{2-x}\text{O}_4$ به ازای $x=0/1$ را نشان می‌دهد. با توجه به شکل (۱) پیک‌های شاخص فاز فریتی NiZnNd در زوایای $2\theta = 20^\circ, 30^\circ, 35^\circ, 40^\circ, 42^\circ, 44^\circ, 50^\circ, 53^\circ, 56^\circ, 62^\circ, 65^\circ$ درجه به ترتیب مربوط به صفحات بلوری (۲۲۰)، (۳۱۱)، (۴۰۰)، (۴۲۲)، (۵۱۱) و (۴۴۰) به خوبی قابل تشخیص است. در فریت $\text{Ni}_{0.7}\text{Zn}_{0.3}\text{Nd}_x\text{Fe}_{2-x}\text{O}_4$ ، انعکاس صفحه (۳۱۱) مهم‌ترین انعکاس به حساب می‌آید که در محاسبه پارامتر شبکه و اندازه بلورک به کار می‌رود. اندازه بلورک‌ها (D_c) از روی پهنای پیک (۳۱۱) به کمک رابطه شرر (رابطه ۱) محاسبه شد. در این رابطه ضریب ثابت که برای ریخت کروی نانوذرات $K = 9$ است، λ طول موج پرتو ایکس (1.54 \AA) درجه آنگستروم)، β پهنای پیک در نصف ارتفاع ماکریم و θ زاویه پراش است [۲۲].

رایان رستاک تهران با دستگاه FEI Quanta 200 ESEM مجهز EDS، با ولتاژ 20 کیلوولت و زاویه 35° درجه انجام شد. به منظور شناسایی کیفی و کمی ترکیبات آلی نمونه‌ها، تعیین نوع گروه عاملی و بررسی پیوندهای ماده از آزمون طیف‌سنجی مادون قرمز با تبدیل فوریه^۸ (FTIR) استفاده شد. این آزمون در آزمایشگاه مرکزی دانشگاه صنعتی اصفهان توسط دستگاه Tensor27 FTIR ساخت کمپانی بروکر کشور آلمان انجام شد. با مراجعه به مراجعی که موقعیت ارتعاش پیوندهای مختلف و یا طیف IR نمونه‌های مورد بررسی را ذکر کرده بودند، پیوندهای موجود در نمونه‌ها شناسایی شد.

ویژگی‌های مغناطیسی با دستگاه مغناطیس‌سنج نمونه ارتعاشی^۹ (VSM) مدل کویرمگنت ساخت ایران با حداکثر میدان اعمالی 100 kOe و گام 100 Oe در دمای اتاق مورد ارزیابی قرار گرفت.



شکل ۲- تغییر موقعیت انعکاس صفحه (۳۱۱) در الگوی پرتو ایکس پودر فریت $\text{Ni}_{0.7}\text{Zn}_{0.3}\text{Nd}_x\text{Fe}_{2-x}\text{O}_4$ به ازای $x = 0 - 0.1$ تهیه شده با چهار برابر مولی TEA و کلسینه شده در دمای ۷۵۰ درجه سانتی گراد

چهاروجهی (58° نانومتر) و هشتوجهی (78° نانومتر) کوچکتر از اندازه شعاع یونی Ni, Nd و Zn است. وقتی این یونها در این مکان‌ها قرار می‌گیرد باعث انبساط شبکه کریستالی اسپینل و افزایش پارامتر شبکه می‌شود [۲۳]. این جایه‌جایی پیک‌ها نسبت به مرجع گفته شده به خوبی در شکل (۲) مشاهده می‌شود. همچنین، پهن بودن خطوط الگوی پرash پودرهای فریتی نشان‌دهنده ریزدانه بودن پودرها است. به هر حال با توجه به پایین بودن دمای آنیل هنوز مقدار کمی فاز آلفا- Fe_2O_3 (هماتیت، مشخص شده با علامت مثلث) در تمامی نمونه‌ها باقی مانده است.

پارامتر شبکه برای پرash صفحه (۳۱۱) با استفاده از رابطه $a = d\sqrt{h^2 + k^2 + l^2}$ محاسبه شد و برای نمونه‌های مختلف در جدول (۲) ارائه شده است.

تمامی نمونه‌ها دارای پارامتر شبکه در محدوده 8338 ± 59 نانومتر هستند. مشاهده می‌شود که با افزایش میزان Nd در تمامی نمونه‌ها افزایش پارامتر شبکه فریت NiZn رخ داده است. این موضوع با بیشتر بودن شعاع یونی نئودیمیم نسبت به آهن تطابق دارد.

$$D_c = \frac{K\lambda}{\beta \cos \theta} \quad (1)$$

ثابت شبکه بلوری مکعبی (a) از رابطه (۲) به دست آمد.

$$a = \left(\frac{\lambda}{2 \sin \theta} \right) \sqrt{(h^2 + k^2 + l^2)} \quad (2)$$

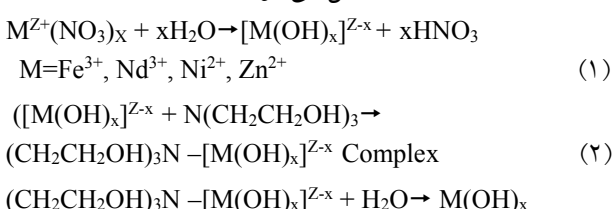
پرash‌های به دست آمده برای تمامی نمونه‌ها مشابه بوده و از طرفی با اطلاعات استاندارد انجمان آزمون و مواد آمریکا و مشخصات اعلام شده توسط سایر پژوهشگران (JCPDS file. 8-0234) به خوبی مطابقت دارد [۲۰ و ۲۱]. در گروه‌های Nd0.01 تا Nd0.1 مقدار کمی فاز ثانویه آلفا- Fe_2O_3 نیز مشاهده می‌شود.

در شکل (۲) تغییر موقعیت پیک‌ها در الگوی پرash پرتو ایکس پودرهای فریت به ازای مقادیر $0.01, 0.05, 0.07, 0.1$ ، $x = 0 - 0.1$ نشان داده شده است. اختلاف شعاع یونی یون‌های Nd^{3+} (11 ± 0.07 نانومتر) و Fe^{3+} (78 ± 0.07 نانومتر) [۲۰ و ۲۱] به کار رفته در تولید نانوپودر فریت $\text{Ni}_{0.7}\text{Zn}_{0.3}\text{Nd}_x\text{Fe}_{2-x}\text{O}_4$ از جمله علل اصلی این تغییر موقعیت است که منجر به تغییر در اندازه پارامتر شبکه فریت $\text{Ni}_{0.7}\text{Zn}_{0.3}\text{Nd}_x\text{Fe}_{2-x}\text{O}_4$ می‌شود [۲۲]. علت دیگر تغییر مکان موقعیت پرash‌ها مربوط به اندازه شعاع مکان‌های چهاروجهی و هشتوجهی است. شعاع مکان‌های

جدول ۲- اثر مقدار x بر پارامتر شبکه و اندازه بلورک در نمونه‌های $\text{Ni}_{0.7}\text{Zn}_{0.3}\text{Nd}_x\text{Fe}_{2-x}\text{O}_4$

پارامتر شبکه (آنگستروم)	2θ	اندازه کریستالیت (نانومتر)	Broadening (β)	مقدار مولی x
۸/۳۵۶۶۶	۳۵/۶۳۱۶	۳۴	۰/۲۴۶۰	۰/۰
۸/۳۵۹۰۷	۳۵/۶۲۱۰	۳۴	۰/۲۴۶۰	۰/۰۱
۸/۳۳۸۵۳	۳۵/۷۱۱۷	۳۴	۰/۲۴۶۰	۰/۰۲
۸/۳۹۴۸۵۳	۳۵/۴۶۴۱	۲۸	۰/۲۹۵۲	۰/۰۵
۸/۳۵۷۰۹۲	۳۵/۶۲۹۷	۳۴	۰/۲۴۶۰	۰/۰۷
۸/۳۶۶۷۹۴	۳۵/۵۸۷۰	۴۲	۰/۱۹۶۸	۰/۱۰

افزودن یک عامل قلیایی به سیستم افزایش می‌یابد. این مونومرها با دیگر مونومرها ترکیب شده تا پلی‌کاتیون‌هایی با پل‌های هیدروکسیدی (اولاسیون) یا اکسیدی (اکسولاسیون) تشکیل شود و این واکنش‌ها تا زمان اتصال تمام یون‌های فلزی و تشکیل پلی‌کاتیون‌ها ادامه می‌یابد. مکانیزم پیشنهادی تشکیل نانوذرات فریت نیکل- روی- نئودیمیم در حضور تری‌اتانول آمین به عنوان عامل کی لیت شونده^{۱۰} یا کمپلکس شونده به صورت زیر است: مطابق واکنش (۱)، ابتدا نمک‌های نیترات آهن، روی، نیکل و نئودیمیم در آب حل شده و به دلیل قلیایی بودن محیط در حضور TEA، گونه‌های $[\text{M}(\text{OH})_x]^{Z-x}$ در محلول ایجاد می‌شود. این گونه‌ها، مطابق واکنش (۲) با مولکول‌های TEA کمپلکس $[\text{M}(\text{OH})_x]^{Z-x} - (\text{CH}_2\text{CH}_2\text{OH})_3\text{N}$ تشکیل می‌دهند. این کمپلکس در حضور مولکول‌های آب به ذرات کلوئیدی $\text{M}(\text{OH})_x$ هیدرولیز می‌شود (تشکیل سل). سپس، از تراکم ذرات کلوئیدی پل‌های اولاسیون (M-OH-M) و اکسولاسیون (M-O-M) (واکنش ۴ و ۵) شکل می‌گرد. گسترش این پیوندها در سه بعد، باعث تشکیل ژل می‌شود. درنهایت از کلسینه کردن شبکه ژل، نانوذرات $\text{Ni}_{0.7}\text{Zn}_{0.3}\text{Nd}_x\text{Fe}_{2-x}\text{O}_4$ تشکیل می‌شود [۲۷-۲۵].



همچنین، مقایسه اندازه بلورک‌ها (محاسبه شده به کمک رابطه شرودنی) در نمونه‌های مختلف نشان می‌دهد که با تغییر نسبت مولی Nd از صفر به ۰.۰۵ اندازه بلورک‌ها تغییر نکرده و ۳۴ نانومتر است. همچنین، اندازه بلورک‌ها از Nd0.10 تا Nd0.05 روند افزایشی نشان می‌دهد. از آنجا که شعاع یونی اتم Nd³⁺ ۱۱۲ پیکومتر بیشتر از شعاع یونی آهن سه‌ظرفیتی (۶۹-۷۸ پیکومتر) است، انتظار می‌رود که پارامتر شبکه با افزایش یون Nd زیاد شود. این روند مطابق جدول (۲) تا مقدار مول Nd ۰.۰۵ صادق است. ولی برای مقدار Nd0.05 کاهش مقدار پارامتر شبکه مشاهده می‌شود. باززو و همکاران نیز چنین کاهش پارامتر شبکه‌ای برای مقادیر زیاد Nd (Nd0.1) $\text{Ni}_{0.75}\text{Zn}_{0.25}\text{Nd}_x\text{Fe}_{2-x}\text{O}_4$ تهیه شده به روش احتراقی را مشاهده کردند [۲۴].

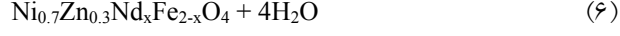
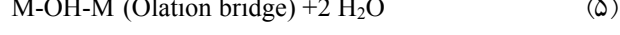
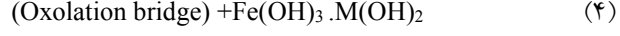
تشکیل ذرات اکسیدی به واسطه رسوب از محلولی از یون‌های فلزی فرایند پیچیده‌ای بوده و شامل یک سری واکنش‌های شیمیایی است که به خوبی شناخته شده نیستند. از آنجایی که در فریت‌های مغناطیسی به طور همزمان چندین کاتیون مختلف وجود دارد از این رو تشکیل فریت‌های کاتیونی مخلوط پیچیدگی بیشتری نیز به همراه دارد. در اصل، واکنش پایه شامل یک نوع واکنش تراکم است که در آن کاتیون‌ها در محلول آبی از طریق پل‌های اکسیژن دار همچون گروه‌های هیدروکسیل (-OH) و یون اکسیژن (-O²⁻) به هم‌دیگر متصل می‌شوند. این واکنش‌ها توسط گونه‌های مونومری همچون M-O- یا M-O آغاز می‌شود و غلظت آنها به سرعت با

-۳- بررسی تجزیه عنصری و ریزساختاری نانوذرات $\text{Ni}_{0.7}\text{Zn}_{0.3}\text{Nd}_x\text{Fe}_{2-x}\text{O}_4$

طیفسنجی تکیک اثری نمونه های $\text{Ni}_{0.7}\text{Zn}_{0.3}\text{Nd}_x\text{Fe}_{2-x}\text{O}_4$ به ازای $x=0.01-0.10$ در شکل های (۵) و (۶) ارائه شده است. با توجه به این آنالیز عناصر O, Zn, Ni و Fe متناسب با استوکیومتری مربوطه در نانوذرات فریتی حضور دارد. از آنجا که این آنالیز با خطاهای مانند خطای فلورسانس، جذب و ... موافق است، مقادیر هر یک از عناصر با مقادیری که در فرمول $\text{Ni}_{0.7}\text{Zn}_{0.3}\text{Nd}_x\text{Fe}_{2-x}\text{O}_4$ انتظار می رفت، متفاوت است. همچنین، حضور کربن در تمامی نمونه ها مربوط به حضور TEA است که برای تشییت نانوذرات و جلوگیری از آگلومر شدن لازم است.

-۴- نتایج طیفسنجی مادون قرمز نانوذرات $\text{Ni}_{0.7}\text{Zn}_{0.3}\text{Nd}_x\text{Fe}_{2-x}\text{O}_4$

برای بررسی تغییر نسبت مولی Nd بر نانوذرات نیکل-روی طیفسنجی مادون قرمز با تبدیل فوریه از نمونه های $\text{Ni}_{0.7}\text{Zn}_{0.3}\text{Nd}_x\text{Fe}_{2-x}\text{O}_4$ (شکل های ۷ و ۸) انجام شد. مطابق نتایج طیفسنجی، باندهای موجود در طیف ژل متاظر با ارتعاشات کششی هیدروکسیل OH- (۳۴۰۸ بر سانتی متر) و آلفاتیک -CH₂- (۲۹۲۴ و ۲۸۵۸ بر سانتی متر)، و ارتعاشات خمسمی گروه های عاملی NH- در ترکیب با یون های فلزی (۱۶۱۷ بر سانتی متر) است. مطابق شکل (۷) بعد از کلسینی کردن نمونه ها در دمای ۷۵۰ درجه سانتی گراد شدت نوارهای مربوط به اسکلت کربنی و گروه های NH- روی ژل کم شده اما حذف نشده است. مطابق این شکل پیک های مشاهده شده در ۳۴۳۳ (بر سانتی متر OH-) و NH- (asym and Sym. C-O)، ۲۹۲۴ و ۲۸۵۱ (بر سانتی متر CH₂)، ۱۶۳۶ (بر سانتی متر NH- OH- خمسمی)، ۱۴۲۸ (بر سانتی متر OH- خمسمی یا CH₂- خمسمی از نوع قیچی مانند) و ۱۰۲۷ (بر سانتی متر C-O- کششی) تأیید کننده حضور تری اتانول آمین در ژل است [۲۸]. انتقال قابل ملاحظه در موقعیت پیک های مربوط به گروه NH- در فرکانس ۱۶۱۷ (بر سانتی متر به فرکانس ۱۶۴۰ بر سانتی متر به برهم کنش بین نانوذرات فریت و مولکول های TEA نسبت داده شده است [۲۹]. در واقع مقادیر بسیار کمی از

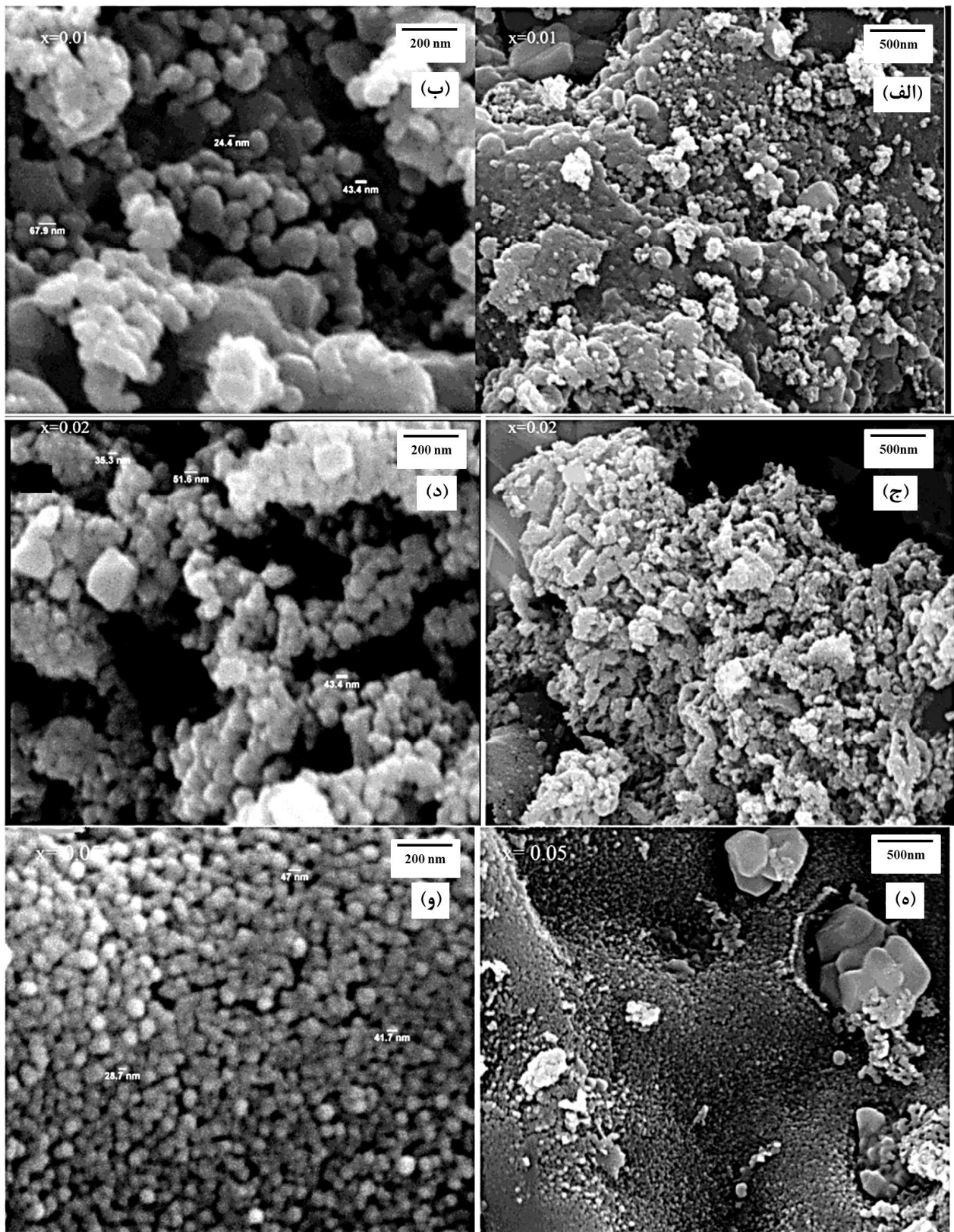


-۲- اثر تغییر نسبت Nd بر ریخت نانوذرات فریتی

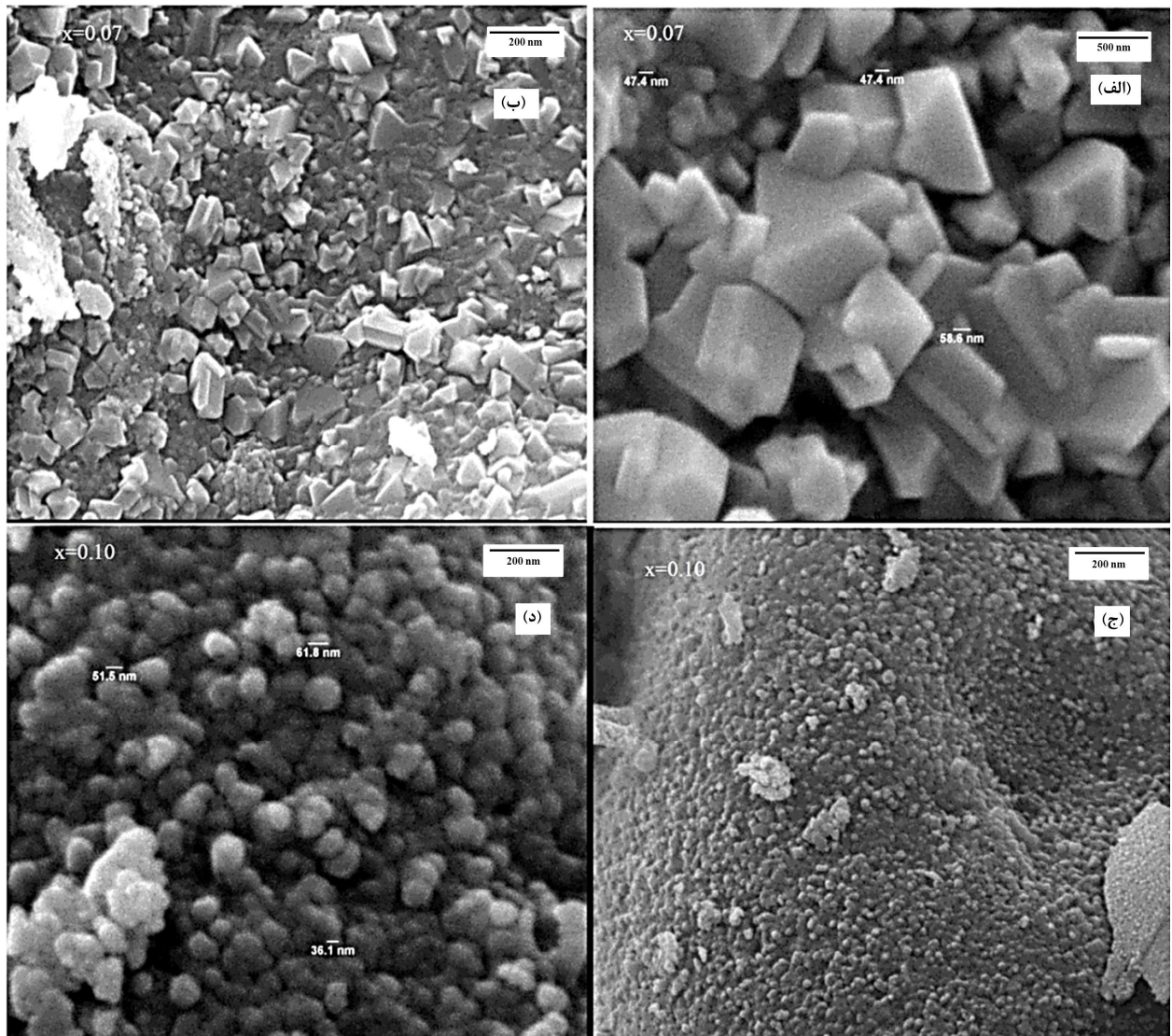
$\text{Ni}_{0.7}\text{Zn}_{0.3}\text{Nd}_x\text{Fe}_{2-x}\text{O}_4$

اثر تغییر نسبت مولی Nd بر ریخت نانوذرات فریتی نیکل-روی در شکل (۳) نشان داد. شکل های (۲-الف و ۲-ب) تصاویر میکروسکوپی الکترونی رویشی نمونه $\text{Ni}_{0.7}\text{Zn}_{0.3}\text{Nd}_{0.01}\text{Fe}_{1.99}\text{O}_4$ را در دو بزرگنمایی متفاوت نشان می دهد. مطابق این شکل نانوذرات فریتی نیکل-روی در حالت آلاییده Nd0.01 دارای ریخت شبه کروی با متوسط اندازه ذرات ۶۰ نانومتر است. با آلاییدن ۰٪ مول Nd در نانوذرات فریتی (شکل ۲-ج و ۲-د) مشاهده می شود ذرات به صورت شبکه کروی با متوسط اندازه ذرات ۵۰ نانومتر تشکیل می شوند. با آلاییدن ۰٪ مول Nd در نانوذرات فریتی (شکل ۲-ه و ۲-و) مشاهده می شود نانوذرات کروی شکل با توزیع اندازه ذرات باریک و متوسط اندازه ذرات ۴۰ نانومتر تشکیل شده است. با آلاییدن ۰٪ مول نئودیمیم (شکل های ۴-الف و ۴-ب) در نانوذرات فریتی مخلوطی از ذرات چندوجهی، هرمی شکل و نانو صفحه ایجاد شده است. درنهایت با افزایش مقدار x به ۰/۱ ذرات شبکه کروی با متوسط اندازه ذرات ۵۵ نانومتر تشکیل شده است (شکل های ۴-ج و ۴-د).

با توجه به اینکه، تری اتانول آمین مورد استفاده در این روش به تمام وجوده بلوری کثوردینه می شود بنابراین، از لحاظ ترمودینامیکی هیچ رشد ترجیحی در غالب نانوذرات $\text{Ni}_{0.7}\text{Zn}_{0.3}\text{Nd}_x\text{Fe}_{2-x}\text{O}_4$ مشاهده نمی شود. با تغییر مقدار یون Nd به ۰٪ مول در شبکه فریتی ریخت صفحه ای در نمونه ها ظاهر شد که نشان دهنده آن است که با آلاییدن یون Nd در شبکه فریتی، وجوده تخت {۱۰۰} حفظ شده و ریخت ذرات به سمت صفحه ای شکل تمایل پیدا می کند [۱۸].



شکل ۳- تصاویر میکروسکوپی الکترونی روبشی گسیل میدانی از نمونه های $\text{Ni}_{0.7}\text{Zn}_{0.3}\text{Nd}_x\text{Fe}_{2-x}\text{O}_4$ به ازای مقادیر مختلف x :
 الف و ب) $x = 0/01$ ، ج و د) $x = 0/02$ ، هـ و و) $x = 0/05$



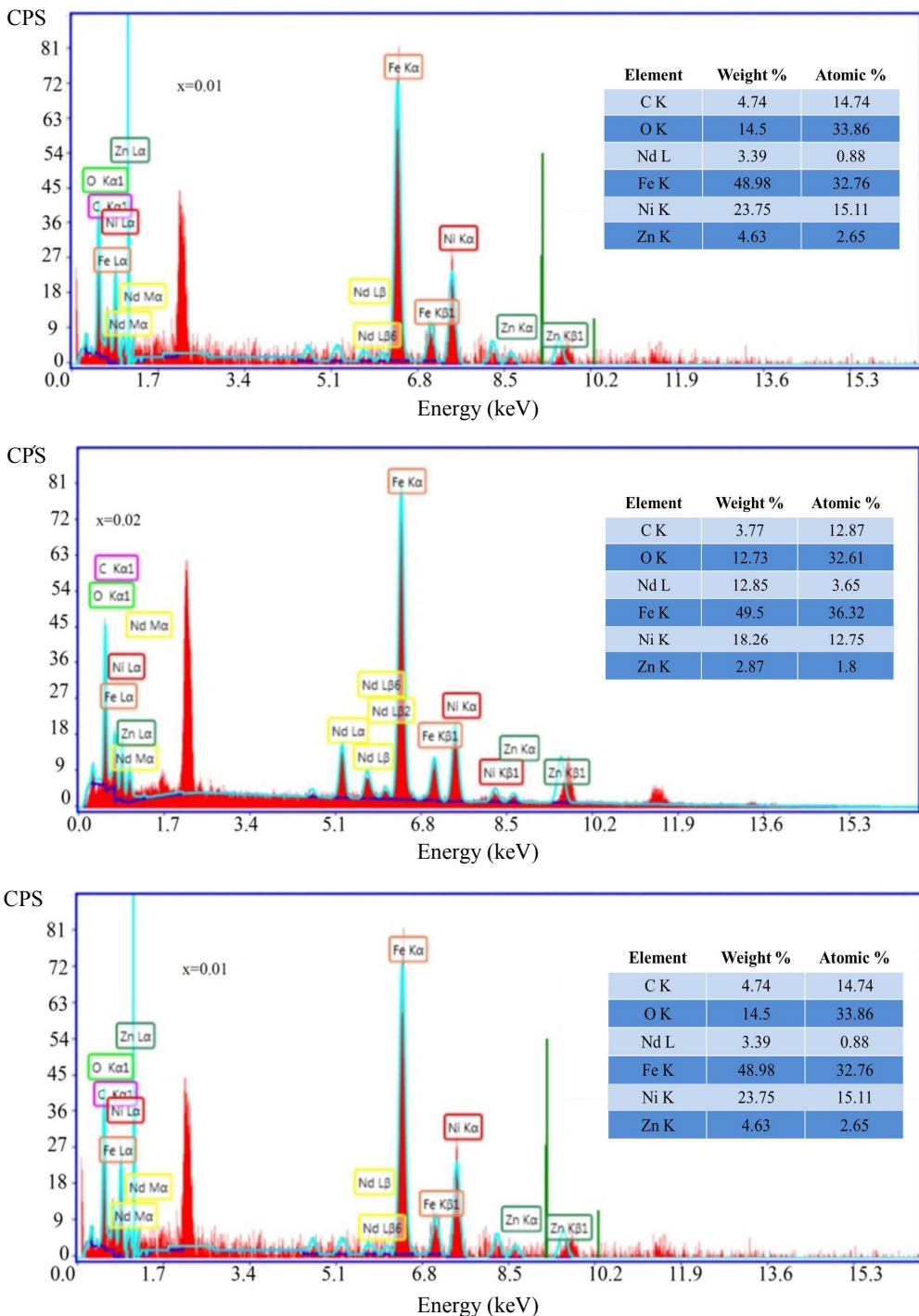
شکل ۴- تصاویر میکروسکوپی الکترونی روبشی گسیل میدانی نمونه‌های $\text{Ni}_{0.7}\text{Zn}_{0.3}\text{Nd}_x\text{Fe}_{2-x}\text{O}_4$ با ازای مقادیر مختلف x :

الف و ب) $x = 0/07$ و ج و د) $x = 0/10$

۵۲۷ بر سانتی‌متر مربوط به فرکانس‌های ارتعاشی اتصال اکسیژن به فلز M-O-M در موقعیت‌های اکتاہدرال و تراهدرال است [۲۱]. با توجه به اینکه عدد موجی با عدد جرمی رابطه معکوس دارد، بنابراین، با جایگزینی یون Fe^{3+} (عدد جرمی ۵۶) با Nd^{3+} (عدد جرمی ۱۴۴/۲۴) در موقعیت تراهدرال عدد موجی نانوذرات اسپینلی سنتز شده از ۵۸۰ به ۵۲۷ بر سانتی‌متر کاهش یافته است. دلیل دیگر برای این جابه‌جایی را می‌توان به شعاع یونی بزرگ‌تر نئودیمیم در مقایسه با آهن نسبت داد که منجر به افزایش فاصله پیوندی

مولکول‌های TEA بر سطح نانوذرات فریت باقی می‌ماند که این امر به واسطه حضور پیوندهای NH- (۱۶۴۰ بر سانتی‌متر) و باندهای ارتعاشی کششی CH_2 - (۲۸۴۷ و ۲۹۲۴ بر سانتی‌متر) تأیید می‌شود. این عوامل کمپلکس (مولکول‌های TEA) باعث پایداری نانوذرات می‌شود و مقادیر بسیار کمی از این مولکول‌ها از آگلومره شدن نانوذرات جلوگیری می‌کند. همچنین در دماهای بالا حضور عامل TEA از اکسیداسیون فاز آهن جلوگیری می‌کند.

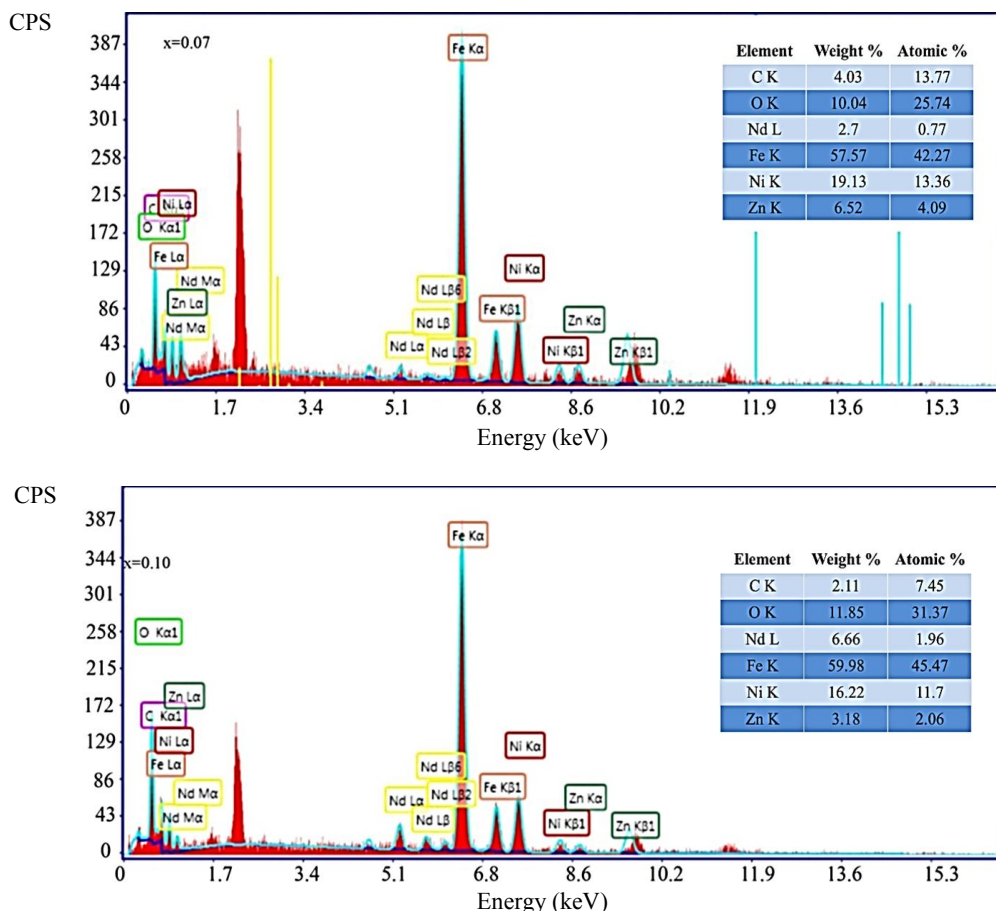
گفتنی است که نوارهای واقع در ناحیه ۳۹۴-۳۸۷ و ۵۸۸-



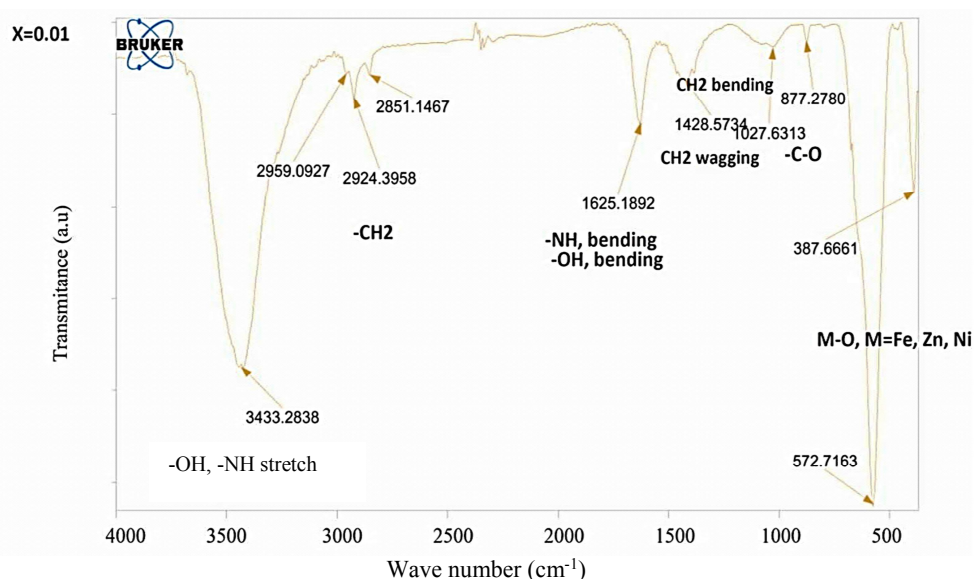
شکل ۵- الگوهای پراش انرژی پرتو ایکس نمونه‌های $\text{Ni}_{0.7}\text{Zn}_{0.3}\text{Nd}_x\text{Fe}_{2-x}\text{O}_4$ به ازای $x = 0/01 - 0/05$ (رنگی در نسخه الکترونیکی)

۳-۵- اثر تغییر نسبت مولی Nd بر ویژگی‌های مغناطیسی نانوذرات فریتی NiZn منحنی‌های مغناطیس سنج نمونه ارتعاشی نانوذرات مغناطیسی فریتی به ازای مقادیر x گوناگون در شکل (۹)

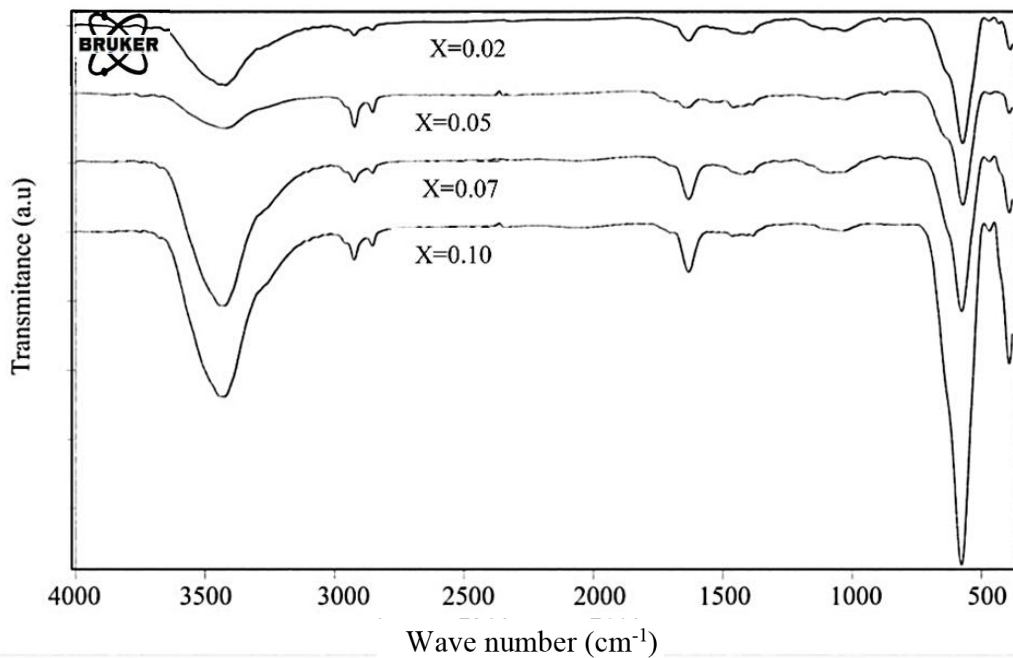
ارتعاشات کششی M-OM در مکان‌های اکتاہدراال از عدد موجی 390° بر سانتی‌متر در $\text{x} = 0^\circ$ به موقعیت 387° بر سانتی‌متر در $x = 0/1^\circ$ جابه‌جا شده است.



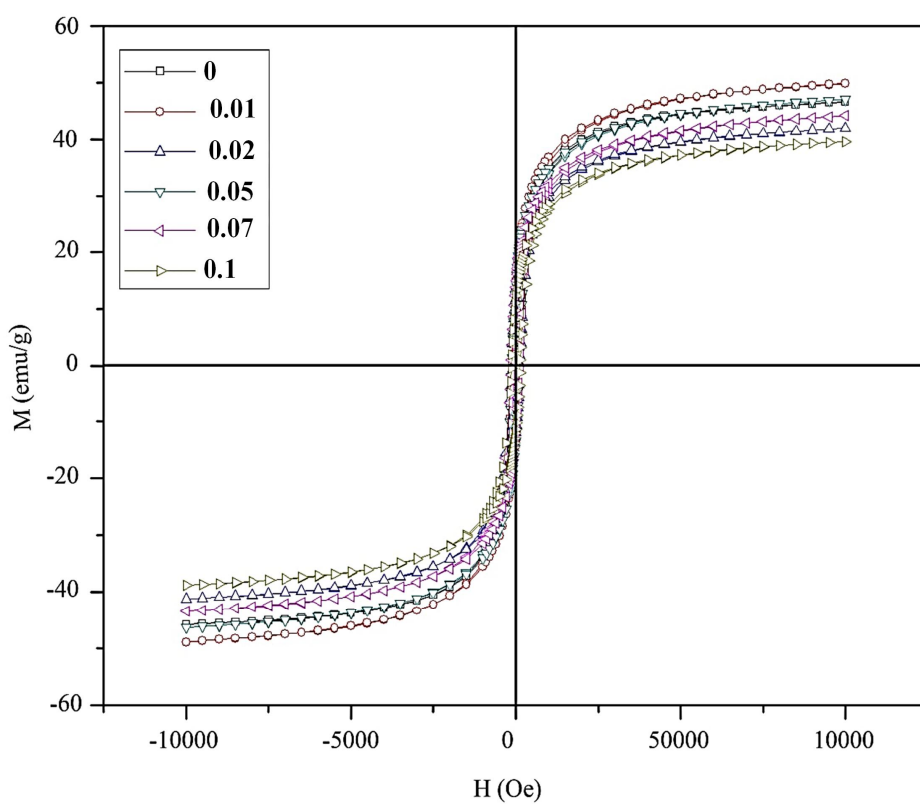
شکل ۶- الگوهای پراش انرژی پرتو ایکس نمونه‌های $\text{Ni}_{0.7}\text{Zn}_{0.3}\text{Nd}_x\text{Fe}_{2-x}\text{O}_4$ به ازای $x = 0/0.07 - 0/10$ در نسخه الکترونیکی (رنگی)



شکل ۷- طیف مادون قرمز با تبدیل فوریه نانوذرات $\text{Ni}_{0.7}\text{Zn}_{0.3}\text{Nd}_x\text{Fe}_{2-x}\text{O}_4$ به ازای $x = 0/10$ بعد از کلسینه کردن در دمای ۷۵° درجه سانتی‌گراد



شکل ۸- طیف مادون قرمز با تبدیل فوریه نانوذرات $\text{Ni}_{0.7}\text{Zn}_{0.3}\text{Nd}_x\text{Fe}_{2-x}\text{O}_4$ به ازای $x=0.02-0.05-0.07-0.10$ بعد از کلسینه کردن در دمای 75°C درجه سانتی گراد



شکل ۹- آزمون مغناطوسنج نمونه نوسانی نانوذرات $\text{Ni}_{0.7}\text{Zn}_{0.3}\text{Nd}_x\text{Fe}_{2-x}\text{O}_4$ به ازای مقادیر مختلف x کلسینه شده در دمای 75°C درجه سانتی گراد

جدول ۳- مقادیر M_s نانوذرات $\text{Ni}_{0.7}\text{Zn}_{0.3}\text{Nd}_x\text{Fe}_{2-x}\text{O}_4$ بازای مقادیر x متفاوت

نام نمونه	ریخت/ اندازه ذره (نانومتر)	مقادیر x (مقدار مولی Nd)	مغناطش اشباع (emu/g) (مقدار مولی Nd)	H_c (Oe)
Nd0	شبه کروی / ۴۵	۰/۰	۴۶/۵	۱۰۰/۰
Nd0.01	شبه کروی / ۶۰	۰/۰۱	۵۰/۰	۱۰۳/۳
Nd0.02	شبه کروی / ۵۰	۰/۰۲	۴۱/۸	۱۲۰/۰
Nd0.05	کروی / ۴۰	۰/۰۵	۴۷/۰	۱۰۰/۶
Nd0.07	اغلب صفحه‌ای / ضخامت صفحه ۵۰	۰/۰۷	۴۴/۲	۱۱۸/۱
Nd0.10	کروی / ۵۵	۰/۱۰	۳۹/۲	۱۲۵/۳

است. دلیل کاهش M_s در $\text{Nd}0.02$ می‌تواند مربوط به برگشت تعدادی از یون‌های آهن از مکان‌های A به مکان‌های B باشد که مطابق رابطه (۸) مغناطش کل کاهش می‌یابد. دلیل مشابهی را می‌توان برای روند کاهشی M_s تا $\text{Nd}0.1$ ارائه کرد.

در شکل (۹) نمای بزرگ‌تر حلقه پسماند برای مشاهده بهتر تغییرات H_c نشان داده شده است. مطابق شکل (۹)، مقدار نیتروی و ادارندگی نانوذرات $\text{Ni}_{0.7}\text{Zn}_{0.3}\text{Nd}_x\text{Fe}_{2-x}\text{O}_4$ با افزایش x از صفر تا ۰.۱ تغییر چندانی نکرده ولی در مقدار آلایش x از ۰.۰۲ از ۰.۰۱ اورستد به ۱۲۰ اورستد افزایش و سپس با افزایش x از ۰.۰۲ به ۰.۰۵ ، مقدار H_c به حدود ۱۰۰ اورستد دوباره کاهش یافته است. علت افزایش مقدار H_c از ۱۰۰ به ۱۲۰ اورستد می‌تواند مربوط به ایجاد نقص و تنفس در شبکه فریتی NiZn بعد از جانشانی یون Nd به جای آهن دانست. با افزایش x از ۰.۰۵ به ۰.۰۷ افزایش مجدد H_c مشاهده می‌شود که می‌تواند مربوط به افزایش ثابت ناهمسانگردی شکل ۴۰ باشد (در اینجا تغییر ریخت نانوذرات از شبه کروی با قطر ۵۰ نانومتر به ریخت صفحه‌ای مانند با ضخامت حدود ۵۰ نانومتر مشاهده شد). افزایش مجدد H_c با افزایش مقدار x از ۰.۰۷ تا ۰.۱ می‌تواند مربوط به ایجاد عیوبی شبیه جای خالی اکسیژن، مرزدانه‌ها و نقص در چیده‌شدن آنها با حل شدن بیشتر مقادیر Nd در شبکه فریتی NiZn باشد. همچنین، جاهای خالی با دیواره حوزه‌ها برهم‌کنش کرده و باعث قفل شدن آنها می‌شود و با اعمال میدان خارجی سبب کاهش مغناطش

و همچنین، مقادیر مغناطش اشباع نانوذرات فریتی $\text{Ni}_{0.7}\text{Zn}_{0.3}\text{Nd}_x\text{Fe}_{2-x}\text{O}_4$ در جدول (۳) به صورت خلاصه آورده شده است. با توجه به جدول (۳) نمونه Nd.01 با فرمول $\text{Ni}_{0.7}\text{Zn}_{0.3}\text{Nd}_{0.01}\text{Fe}_{1.99}\text{O}_4$ دارای بیشترین مقدار M_s (۵۰/۰ emug) است.

تغییر مقدار Nd می‌تواند ناشی از برهم‌کنش ابر تبادلی بین یون‌های موجود در مکان‌های چهار وجهی (A) و هشت‌وجهی (B) باشد. یون‌های Zn^{2+} تمایل به اشغال مکان‌های A و یون‌های Ni^{2+} تمایل شدیدی به قرارگیری در مکان‌های B دارند. یون‌های Fe و عناصر نادر خاکی با بار مثبت سه می‌توانند در هر دو مکان قرار بگیرند. مغناطش نهایی از قدر مطلق تفاوت بین مغناطش‌های M_A و M_B ناشی می‌شود. زیر شبکه B عموماً دارای مغناطش بالاتری نسبت به زیر شبکه A است [۲۴، ۲۸ و ۳۰].

$$M_{\text{total}} = [M_B - M_A] \quad (3)$$

با افزودن Nd اندازه ذرات درشت شده و بنابراین، نیتروی و ادارندگی کاهش می‌یابد. این اثرات را می‌توان به ازای مقادیر $x=۰.۰۵$ و ۰.۱ مشاهده کرد.

مطابق جدول (۳) دلیل افزایش M_s در $\text{Nd}0.01$ مربوط به این موضوع باشد که با ورود یون‌های Nd در شبکه فریتی تعدادی از یون‌های آهن از مکان‌های A به مکان‌های B مهاجرت کرده و مطابق رابطه (۸) مغناطش کل افزایش می‌یابد. در اینجا، برهم‌کنش تبادلی بین ترازهای $4f$ نئودیمیم و $3d$ یون آهن (III) باعث افزایش مغناطش اشباع به ۵۰ شده

مولکول TEA باقیمانده وجود دارد که باعث ثبیت و جلوگیری از آگلومره شدن نانوذرات فریتی می‌شود.

۳- با جانشینی نئودیمیم بهجای یون آهن III، پارامتر شبکه غالب نانوذرات فریت نیکل-روی بهدلیل بزرگ‌تر بودن شعاع Nd^{3+} نسبت به یون آهن افزایش نشان داد.

۴- با جانشینی نئودیمیم در مقدار مولی ۰,۰۷ ریخت نانوذرات فریتی به‌سمت صفحه‌ای شکل تمایل پیدا کرده است. در این نسبت مولی، افزایش نیروی وادراندگی نسبت به سایر نمونه‌ها نیز مشاهده شد که می‌تواند مربوط به افزایش ثابت ناهمسانگردی شکل باشد.

۵- برهم‌کنش تبادلی بین ترازهای ۴f نیودیمیم و d ۳ یون آهن (III) باعث افزایش مغناطیش اشباع نانوذرات فریت نیکل-روی به مقدار ۵۰ emu/g بدون تغییر قابل توجه نیروی وادراندگی (۱۰۳ Oe) شد.

می‌شود [۲۴، ۲۸ و ۳۰]. مقادیر H₀ به دست آمده در این تحقیق بالاتر از کار مشابهی بود که توسط وو و همکاران در سال ۲۰۱۸ برای ترکیب $Ni_{0.5}Zn_{0.5}Nd_xFe_{2-x}O_4$ آماده‌سازی شده به روش کلسيناسيون اگزالاتی گزارش شد [۳۱].

۴- نتیجه‌گیری

۱- نتایج میکروسکوپی الکترونی رویشی گسیل میدانی نشان داد که نمونه $Ni_{0.7}Zn_{0.3}Nd_xFe_{2-x}O_4$ آبیده شده با ۰,۱ نیودیمیم ستز شده با چهار مول TEA و کلیسته شده در دمای ۷۵۰ درجه سانتی‌گراد دارای اندازه ذرات (۶۰ نانومتر) با ریخت شبه-کروی است.

۲- طبق آنالیز تفکیک انرژی پرتو ایکس مشاهده شد در تمامی نمونه‌ها عناصر آهن، نیکل، روی، نیودیمیم و اکسیژن وجود دارد. همچنین مشاهده شد در نمونه‌ها مقداری کربن ناشی از

واژه‌نامه

1. Triethanol amine (TEA)
2. face centered cubic (FCC)
3. rare earth elements (RE)
4. complexing agent
5. X-ray diffraction (XRD)
6. field emission electron scanning microscop (FESEM)
7. X-ray energy dispersive spectroscopy (EDS)
8. Fourier-transform infrared (FTIR)
9. Vibrating sample magnetometer (VSM)
10. Chelating agent

مراجع

1. Buschow, K. H. J., and de Boer, F. R., *Physics of Magnetism and Magnetic Materials*, Kluwer Academic, New York, 2003.
2. Goldman, A., *Modem Ferrite Technology*, 2rd ed., Springer, 1987.
3. Cullity, B. D., and Graham, C. D., *Introduction to Magnetic Materials*, 2rd ed., John Wiley & Sons, Inc., Hoboken, New Jersey, 2009.
4. Mathew, D. S., and Juang, R. Sh., “An Overview of the Structure and Magnetism of Spinel Ferrite Nanoparticles and Their Synthesis in Microemulsions”, *Chemical Engineering Journal*, Vol. 129, pp. 51-65, 2007.
5. Zhang, C. F., Zhong, X. C., Yu, H. Y., Liu, Z. W., and Zeng, D. C., “Effects of Cobalt Doping on the Microstructure and Magnetic Properties of Mn-Zn Ferrites Prepared by the Co-Precipitation Method”, *Physica B: Condensed Matter*, Vol. 404, pp. 2327-2331, 2009.
6. Meng, Y. Y., Liu, Z. W., Dai, H. C., Yu, H. Y., Zeng, D. C., Shukla, S., and Ramanujan, R. V., “Structure and Magnetic Properties of Mn (Zn) $Fe_{2-x}RE_xO_4$ Ferrite Nano-Powders Synthesized by Co-Precipitation and Refluxing Method”, *Powder Technology*, Vol. 229 , pp. 270-275, 2012.
7. Deraz, N. M., “Size and Crystallinity-Dependent Magnetic Properties of Copper Ferrite Nano-Particles”, *Journal of Alloys and Compounds*, Vol. 501, pp. 317-325, 2010.
8. Viswanath, I. K., Murthy, Y. L. N., Tata, K. R., and Singh, R., “Synthesis and Characterization of Nano Ferrites by Citrate Gel Method”, *International Journal of Chemical Sciences*, Vol. 11, pp. 64-72, 2013.
9. Meskin, P. E., Ivanov, V. K., Barantchikov, A. E., Churagulov, B. R., and Tretyakov, Y. D., “Ultrasonically Assisted Hydrothermal Synthesis of Nanocrystalline ZrO_2 , TiO_2 , $NiFe_2O_4$ and

- Ni_{0.5}Zn_{0.5}Fe₂O₄ Powders”, *Ultrasonics Sonochemistry*, Vol. 13, pp. 47-53, 2013.
10. Yan, W., Jiang, W., Zhang, Q., Li, Y., and Wang, H., “Structure and Magnetic Properties of Nickel-Zinc Ferrite Microspheres Synthesized by Solvothermal Method”, *Materials Science and Engineering: B*, Vol. 171, pp. 144-148, 2010.
 11. Thakur, S. C., and Singh, M., “Structural and Magnetic Properties of Nano Nickel-Zinc Ferrite Synthesized by Reverse Micelle Technique”, *Journal of Magnetism and Magnetic Materials*, Vol. 321, pp. 1-7, 2009.
 12. Velmurugan, K., Venkatachalapathy, V. S. K., and Sendhilnathan, S., “Synthesis of Nickel Zinc Iron Nanoparticles by Coprecipitation Technique”, *Materials Research*, Vol. 13, pp. 299-303, 2010.
 13. Liu, X. M., and Gao, W. L., “Preparation and Magnetic Properties of NiFe₂O₄ Nanoparticles by Modified Pechini Method”, *Materials and Manufacturing Processes*, Vol. 27, pp. 905-909, 2012.
 14. Sakka, S., and Kozuka, H., *Handbook of Sol-Gel Science and Technology Processing, Characterization and Applications*, 2nd ed., Kluwer Academic Publishers, 2008.
 15. Tebble, R. S., and Craik, D. J., *Magnetic Materials*, Wiley-Interscience, New York, 1969.
 16. Gabal, M. A., and Bayoumy, W. A., “Effect of Composition on Structural and Magnetic Properties of Nanocrystalline Ni_{0.8-x}Zn_{0.2}Mg_xFe₂O₄ Ferrite”, *Polyhedron*, Vol. 29, pp. 2569-2573, 2010.
 17. Fu, Y. P., Lin, C. H., and Liu, Ch. W., “Preparation and Magnetic Properties of Ni_{0.25}Cu_{0.25}Zn_{0.5} Ferrite from Microwave-Induced Combustion”, *Journal of Magnetism and Magnetic Materials*, Vol. 283, pp. 59-64, 2004.
 18. Borhan, A. I., Hulea, V., Iordan, A. R., and Palamaru, M. N., “Cr³⁺ and Al³⁺ Co-Substituted Zinc Ferrite: Structural Analysis, Magnetic and Electrical Properties”, *Polyhedron*, Vol. 70, pp. 110-118, 2014.
 19. Hua, S., Huai-wu, Z., Xiao-li, T., and Yu-lan, J., “Microstructure and Magnetic Properties of Ni-Zn Ferrites Doped with MnO₂”, *Transactions of Nonferrous Metals Society of China*, Vol. 21, pp. 109-113, 2011.
 20. Zibao, J., Yao, Zh., Zhou, J., Qian, K., Lei, Y., Wei, B., and Chen, W., “Enhanced Microwave Absorption Properties of Nd-doped NiZn Ferrite/Polyaniline Nanocomposites”, *Ceramics International*, Vol. 46, No. 16, pp. 25405-25414, 2020.
 21. Loghman-Estarki, M. R., Torkian, S., Rastabi, R. A., and Ghasemi, A., “Effect of Annealing Temperature and Copper Mole Ratio on the Morphology, Structure and Magnetic Properties of Mg_{0.5-x}Cu_xZn_{0.5}Fe₂O₄ Nanoparticles Prepared by the Modified Pechini Method”, *Journal of Magnetism and Magnetic Materials*, Vol. 442, pp. 163-175, 2017.
 22. Cullity, B. D., *Elements of X-Ray Diffraction*, 3rd Ed., Addison-Wesley Publishing Company, 1956.
 23. Shokrollahi, H., “Magnetic Properties and Densification of Manganese-Zinc Soft Ferrites (Mn_{1-x}Zn_xFe₂O₄) Doped with Low Melting Point Oxides”, *Journal of Magnetism and Magnetic Materials*, Vol. 320, pp. 463-474, 2008.
 24. Bazuev, G. V., Gyrdasova, O. I., Novikov, S. I., and Kuznetsov, A. Y., “Synthesis, Structure, and Magnetic Properties of Rare-Earth-Doped Ni_{0.75}Zn_{0.25}Fe₂O₄ Nickel Zinc Ferrite”, *Inorganic Materials*, Vol. 52, pp. 932-938, 2016.
 25. Sutka, A., Santa, L., Gundars, M., Arturs, P., Inta, V., and Limons, T., *A Comparative Study of Ni_{0.7}Zn_{0.3}Fe₂O₄ Obtained by Sol-Gel Autocombustion and Flash Combustion Methods*. In: *IOP Conference Series*, Publication Edition Name 25, 2011.
 26. Chengliang, H., Zhu, D., Wu, H., Li, Y., Cheng, L., and Hu, K., “TEA Controllable Preparation of Magnetite Nanoparticles (Fe₃O₄ NPs) with Excellent Magnetic Properties”, *Journal of Magnetism and Magnetic Materials*, Vol. 408, pp. 213-216, 2016.
 27. Tian, X., Wang, J., Wu, Ch., Meng, F., Shi, Zh., Lian, J., Feng, J., and Meng, J., “Novel Complex-Coprecipitation Route to form High Quality Triethanolamine-Coated Fe₃O₄ Nanocrystals: Their High Saturation Magnetizations and Excellent Water Treatment Properties”, *CrystEngComm*, Vol. 14, No. 18, pp. 5741-5744, 2012.
 28. Şabikoğlu, İ., Paralı, L., Malina, O., Novak, P., Kaslik, J., Tucek, J., and Schneeweiss, O., “The effect of Neodymium Substitution on the Structural and Magnetic Properties of Nickel Ferrite”, *Progress in Natural Science: Materials International*, Vol. 2, pp. 215-221, 2015.
 29. Mousavi, S. F., Davar, F., and Loghman-Estarki, M. R., “Controllable Synthesis of ZnO Nanoflowers by the Modified Sol-Gel Method”, *Journal of Materials Science: Materials in Electronics*, Vol. 27, No. 12, pp. 12985-12995, 2016.
 30. Meng, Y. Y., Liu, Z. W., Dai, H. C., Yu, H. Y., Zeng, D. C., Shukla, S., and Ramanujan, R. V., “Structure and Magnetic Properties of Mn(Zn)Fe_{2-x}RE_xO₄ Ferrite Nano-Powders Synthesized by Co-Precipitation and Refluxing Method”, *Powder Technology*, Vol. 229, pp. 270-275, 2012.
 31. Wu, X., Wen, Ch., Wenwei W., Juan, W., and Qing, W., “Improvement of the Magnetic Moment of NiZn Ferrites Induced by Substitution of Nd³⁺ Ions for Fe³⁺ Ions”, *Journal of Magnetism and Magnetic Materials*, Vol. 453, pp. 246-253, 2018.